

روش نوین ردگیری ماهواره با اعمال پدیده داپلر بر TLE

مهرزاد نصیریان^{۱*} و سانا ز قائمی سرددروودی^۲

۱ و ۲- دانشکده مهندسی برق، دانشگاه صنعتی مالک اشتر

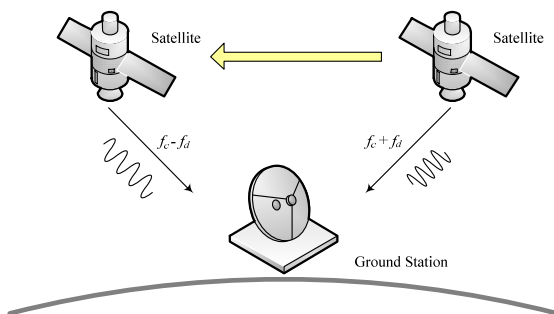
*تهران، لویزان، کد پستی: ۱۷۷۴۱۵۸۷۵

nasirian@mut.ac.ir

در این مقاله به یک نوع روش ردگیری نوین اتوماتیک ماهواره توسط ایستگاه زمینی با کمک تغییر TLE از طریق اندازه‌گیری فرکانس داپلر دریافتی پرداخته می‌شود. روش کار به این صورت است که با اندازه‌گیری فرکانس مرکزی سیگنال بین ارسالی توسط ماهواره و مقایسه آن با فرکانس داپلر محاسبه شده از روی TLE، میزان انحراف زمانی TLE استخراج و پارامترهای مداری ماهواره طوری اصلاح می‌گردد که این انحراف فرکانسی صفر شود. بدین صورت آنتن جهت‌گیری شده و سیگنال دریافتی در مازکریم مقدار خود قرار می‌گیرد. این روش در باند فرکانسی UHF و مدولاسیون CW بر روی ماهواره‌های آماتور تست و صحبت آن تأیید شده است.

واژه‌های کلیدی: پیش‌بین مسیر ماهواره، TLE، شیفت فرکانس داپلر، حلقة کنترل خودکار فرکانس، تفکیک کننده

بسته به این که فرستنده و گیرنده به یکدیگر نزدیک یا از هم دور شوند، فرکانس سیگنال حامل دریافتی در گیرنده کمی بیشتر یا کمتر از مقدار مورد انتظار خواهد بود. همان‌گونه که در شکل ۱ نشان داده شده است، در ارتباط رادیویی بین ماهواره و ایستگاه زمینی، با توجه به این نکته که ماهواره نسبت به ایستگاه در حال حرکت است، همواره اثر انحراف فرکانس مرکزی به دلیل پدیده داپلر وجود دارد. مقدار دقیق انحراف فرکانسی از یک سری روابط استخراج می‌شود. دقت انحراف فرکانس محاسباتی ناشی از پدیده داپلر به میزان دقت پارامترهای مداری ماهواره که از روی TLE استخراج می‌شود بستگی دارد.



شکل ۱- انحراف فرکانس مرکزی ناشی از پدیده داپلر در مخابرات ماهواره‌ای

علائم و اختصارات

| | |
|-------|--|
| TLE | Two Line Element |
| LNA | Low Noise Amplifier |
| UHF | Ultra High Frequency |
| CW | Continuous Wave |
| MA | Mean Anomaly |
| AP | Argument of Perigee |
| RAAN | Right Ascension of Right Ascending Node |
| ECI | Earth Centered Inertial |
| ECEF | Earth Centered Earth Fixed |
| UTC | Universal Time Coordinated |
| GPS | Global Positioning System |
| AFC | Automatic Frequency Control |
| VCO | Voltage Control Oscillator |
| DIFAF | Differential Automatic Frequency Control |
| DPSK | Differential Phase Shift Keying |
| FSK | Frequency Shift Keying |

مقدمه

پدیده داپلر موضوعی است که در ارتباطات رادیویی بین فرستنده و گیرنده‌ای که نسبت به یکدیگر در حال حرکت هستند رخ می‌دهد.

۱. استادیار (نویسنده مخاطب)

۲. کارشناس ارشد

$$\begin{aligned}\sin M'(t) &= \frac{\sqrt{1-e^2} \sin E(t)}{1-e \cos E(t)} \\ \cos E(t) &= \frac{e+\cos M'(t)}{1+e \cos M'(t)} \\ \sin E(t) &= \frac{\sqrt{1-e^2} \sin M'(t)}{1-e \cos M'(t)} \\ \text{Arc from Apogee} &= \tau = \omega + M' \\ \text{Distance} &= r_s = \frac{a(1-e^2)}{1+e \cos M'(t)}\end{aligned}$$

$$\begin{aligned}\bar{r} &= \left[\frac{\sqrt{1-e^2} \sin M'(t)}{1-e \cos M'(t)} \frac{a(1-e^2) \cos M'}{1+e \cos M'} \right] \bar{P} + \\ &\quad \left[\frac{a(1-e^2) \sin M'}{1+e \cos M'} \right] \bar{Q} \\ \bar{V} &= \left[-k \sin M' \sqrt{\frac{1}{a(1-e^2)}} \right] \bar{P} + \\ &\quad \left[k(\cos M' + e) \sqrt{\frac{1}{a(1-e^2)}} \right] \bar{Q} \quad (2) \\ V &= k \sqrt{\frac{1+2e \cos M' + e^2}{a(1-e^2)}} \\ V_{\min} &= \left[k \sqrt{\frac{1-e}{a(1+e)}} \right] \\ V_{\max} &= \left[k \sqrt{\frac{1+e}{a(1-e)}} \right]\end{aligned}$$

در معادله (۲)، \bar{r} بردار مکان ماهواره و \bar{V} بردار سرعت آن است. بعد از حل معادله (۲) و به کمک هندسه فضایی می‌توان موقعیت ماهواره را در فضا مشخص کرد.

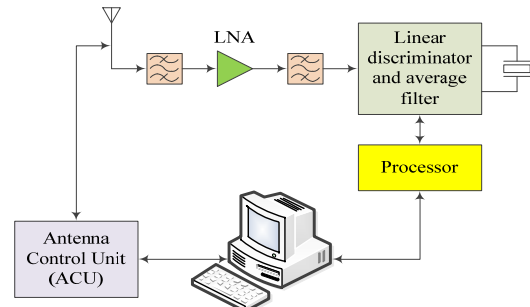
قدم اول در طراحی شبیه‌ساز، حل معادلات کپلر است. بعد از حل معادلات کپلر، با استفاده از ماتریس‌های انتقال زیر و در نظر گرفتن اختلالات، موقعیت ماهواره در فضا به دست آورده می‌شود. جایی که Δ زاویه میل، Ω طول جغرافیایی نقطه صعود (RAAN) و ω ، آرگومان نقطه حضيض AP، MA ناهنجاری متوسط در سیستم مختصات اینرسی در اولین روز بهار است؛ ماتریس‌های انتقال برای حل این مسئله به صورت زیر هستند [۱۲] و [۱۳]. توسط این ماتریس‌های انتقال، موقعیت ماهواره در سیستم مختصات اینرسی به دست می‌آید.

A_1 : ماتریس انتقال حول محور Z به اندازه ω به منظور تعیین موقعیت ماهواره در سیستم مختصات نوadal.

روش‌های متعددی برای اندازه‌گیری فرکانس دقیق دریافتی در گیرنده ایستگاه زمینی وجود دارد که در بخش بعد به آن اشاره خواهد شد. با داشتن میزان میزان دقیق فرکانس داپلر و مقایسه آن با انحراف محاسبه شده از روی پارامترهای مداری ماهواره می‌توان خطاهای TLE را اصلاح و دقت ریدیابی آتن ایستگاه زمینی را افزایش داد. مزیت این روش، زمانی آشکار می‌گردد که TLE به روز ماهواره جهت ردگیری در دسترس نباشد.

معماری سیستم

نمودار بلوکی کل سیستم در شکل (۲) نشان داده شده است. همان‌گونه که در شکل نشان داده شده، نسخه‌ای از سیگنال (LNA) دریافتی آتن ایستگاه توسط یک تقویت‌کننده کم نویز (LNA) تقویت شده و از یک فیلتر میان‌گذر عبور داده می‌شود تا سیگنالی با سطح توان مناسب در اختیار تقویت‌کننده و فیلتر میانگین فرکانس قرار گیرد. وظیفه این فیلتر جستجوی فرکانس حامل و اندازه‌گیری مقدار شیفت فرکانسی سیگنال حامل نسبت به حالت عادی (بدون اثر داپلر) است. سپس مقدار شیفت فرکانسی اندازه‌گیری شده در اختیار بخش کنترل برای اصلاح پارامترهای مداری ماهواره و همچنین کنترل آتن ایستگاه قرار می‌گیرد.

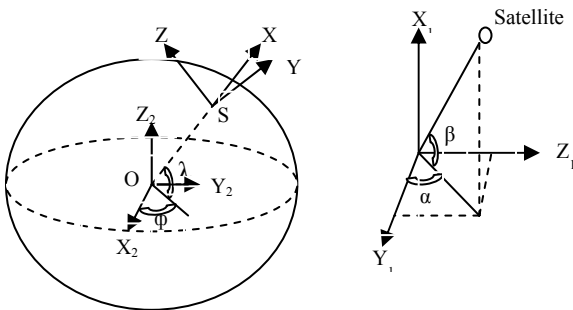


شکل ۲- نمودار بلوکی معماری سیستم

تعیین موقعیت ماهواره و آتن ایستگاه زمینی از مجموعه روابط (۱) می‌توان برای تعیین موقعیت و سرعت ماهواره در فضای دو بعدی یا مدل بیضی بهره جست.

$$\begin{aligned}\mu &= 3.986 \times 10^{14} \text{ m}^3 / \text{s}^2, \omega_0 = \sqrt{\frac{\mu}{a^3}} \\ M(t) &= \omega_0(t - t_0) \\ E(t) &= M(t) + e \sin E(t) \\ \begin{cases} \text{Recursive Equation for Solve it} \\ E_0 = M(t) + e \sin M(t) + \frac{e^2}{2} \sin 2M(t) \\ M_0 = E_0 - e \sin E_0 \\ \cos M'(t) = \frac{\cos E(t) - e}{1 - e \cos E(t)} \end{cases} \quad (1)\end{aligned}$$

(سیستم مختصات Topocentric) انتقال داد. برای انجام این هدف به یک انتقال و دو چرخش در سیستم مختصات گرینویج همان طور که در شکل (۳) نشان داده شده است نیاز است. در این شکل $X_1Y_1Z_1$ سیستم مختصات آتن و $X_2Y_2Z_2$ سیستم مختصات گرینویج است.



شکل ۳- نمایش سیستم مختصات آتن و سیستم مختصات اینرسی ماتریس‌های انتقال لازم برای این تبدیل به صورت رابطه‌های تا (۱۰) هستند:

$$A_4 = \begin{bmatrix} \cos \lambda & 0 & \sin \lambda \\ 0 & 1 & 0 \\ \sin(-\lambda) & 0 & \cos \lambda \end{bmatrix} \quad (8)$$

$$A_5 = \begin{bmatrix} \cos \varphi & \sin(-\varphi) & 0 \\ \sin \varphi & \cos \varphi & 0 \\ 0 & 0 & 1 \end{bmatrix} \quad (9)$$

$$A_6 = \begin{bmatrix} 1 \\ 0 \\ 0 \end{bmatrix} \quad (10)$$

موقعیت ماهواره در سیستم مختصات آتن، X_a ، بدین صورت به دست می‌آید:

$$X_a = A_4 A_5 X_G - A_6 \quad (11)$$

با کمک موقعیت ماهواره در مختصات آتن، به سادگی می‌توان زوایای سمت α و زوایای ارتفاع ماهواره β ، در هر لحظه از زمان در ایستگاه زمینی به دست آورد. معادلات مربوطه به صورت رابطه (۱۲) است:

$$\alpha = \operatorname{tg}^{-1} \left(\frac{x_a(3)}{x_a(2)} \right) \quad (12)$$

$$\beta = \operatorname{tg}^{-1} \left(\frac{x_a(1)}{\sqrt{x_a(2)^2 + x_a(3)^2}} \right)$$

اگر آتن ایستگاه زمینی دارای تیلت (انحراف بین سطح مقطع آتن و سطح تراز زمین) باشد، ماتریس انتقال مربوطه باید به رابطه (۱۱) اضافه گردد. شایان ذکر است که در حال حاضر زمین به شکل کروی در نظر گرفته شده است و اندازه‌ها به صورت نرمالیزه در نظر

$$A_i = \begin{bmatrix} \cos \omega & \sin(-\omega) & 0 \\ \sin \omega & \cos \omega & 0 \\ 0 & 0 & 1 \end{bmatrix} \quad (3)$$

A_2 : ماتریس انتقال حول محور X به اندازه i به منظور تعیین موقعیت ماهواره در سیستم مختصات اینرسی زمینی.

$$A_2 = \begin{bmatrix} 1 & 0 & 0 \\ 0 & \cos i & \sin(-i) \\ 0 & \sin i & \cos i \end{bmatrix} \quad (4)$$

A_3 : ماتریس انتقال حول محور Y به اندازه Ω به منظور تعیین موقعیت ماهواره در سیستم مختصات اینرسی زمینی.

$$A_3 = \begin{bmatrix} \cos \Omega & \sin(-\Omega) & 0 \\ \sin \Omega & \cos \Omega & 0 \\ 0 & 0 & 1 \end{bmatrix} \quad (5)$$

اگر X_N را موقعیت ماهواره در مدار بیضی در سیستم مختصات نodal تغییر یافته در نظر بگیریم، X_1 ، موقعیت ماهواره در سیستم مختصات اینرسی زمینی برابر است با:

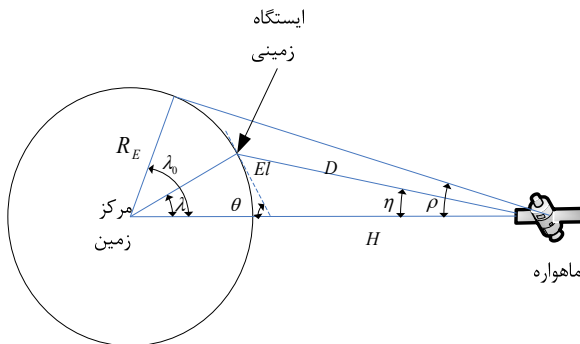
$$X_1 = A_3 A_2 A_4 X_N. \quad (6)$$

شایان ذکر است که چرخش صفحه مداری بر روی استوا، به دلیل دو چرخش کره زمین به دور خود و چرخش مدار ماهواره ناشی از غیرکروی بودن زمین است که در محاسبات هر دو چرخش منظور می‌گردد. با استفاده از X_1 ، ارتفاع، طول و عرض جغرافیایی زمینی ماهواره در سیستم مختصات اینرسی قابل محاسبه است. به طوری که از روی اندازه آن ارتفاع ماهواره استخراج می‌گردد. توسط زاویه ارتفاع آن در سیستم مختصات اینرسی زمینی، عرض جغرافیایی ماهواره و از روی زاویه سمت آن، طول جغرافیایی ماهواره در سیستم مختصات اینرسی زمینی قابل استخراج است. در صورتی که تفاوت زاویه‌ای دو سیستم مختصات ECEF و ECI (سیستم مختصات گرینویج) که یک چرخش زاویه‌ای حول محور قطبین در $\alpha=1.74476716333061(\text{rad})$ سیستم مختصات اینرسی به اندازه α است. در تاریخ اول ژانویه سال ۲۰۰۰ براساس محاسبات انجام گرفته در میلادی است را در محاسبات وارد کنیم، موقعیت X_G و طول و عرض جغرافیایی نامی ماهواره در سیستم مختصات گرینویج به دست می‌آید. لازم به ذکر است که زاویه α بر اثر حرکات تقدیمی و ترقی زمین تغییر می‌کند که به طور استاندارد در عرض هر چند دهه آن را ثابت و در محاسبات وارد می‌کنند. در این صورت:

$$\Omega \rightarrow \Omega + \alpha \quad (7)$$

مرحله بعد در طراحی شبیه‌ساز ایستگاه زمینی چگونگی به دست آوردن زوایای آتن ایستگاه زمینی از روی موقعیت X_G است. برای به دست آوردن زوایای آتن ایستگاه زمینی، باید موقعیت ماهواره را از سیستم مختصات گرینویج به سیستم مختصات آتن

سرعت نسبی ماهواره نسبت به ایستگاه زمینی در هر لحظه است که این مسئله با استفاده از پارامترهای مداری ماهواره و موقعیت ایستگاه زمینی قابل انجام است. بنابراین دقت انحراف فرکانس محاسباتی ناشی از پدیده داپلر به میزان دقت پارامترهای مداری ماهواره که از روی TLE استخراج می‌شود بستگی دارد.



شکل ۵- شماتیک کلی مدار ماهواره

طبق شکل (۵)، سرعت نسبی ماهواره نسبت به ایستگاه زمینی در هر لحظه عبارت است از:

$$v_{s,r} = v \cos \theta \quad (14)$$

که در این معادله، v سرعت ماهواره و زاویه θ ، زاویه نشان داده شده در شکل است که بدین صورت محاسبه می‌شود.

$$v = \sqrt{\frac{\mu}{r}} = \sqrt{\frac{\mu}{R_E + H}} \quad (15)$$

در معادله فوق μ ، پارامتر جاذبه، R_E شعاع کره زمین، r ، موقعیت ماهواره در دستگاه مختصات اینرسی زمین مرکز (ECI) و H ، ارتفاع ماهواره از سطح زمین شد.

$$\mu = GM \quad (16)$$

در معادله بالا، G ثابت جهانی گرانش و M جرم کره زمین است. زاویه θ معادله (۱۴) برابر است با:

$$\theta = \lambda + El \quad (17)$$

در این معادله، λ ، از فرمول (۱۸) بدست می‌آید.

$$\lambda = 90^\circ - El - \eta \quad (18)$$

مقدار زاویه η نیز بدین صورت محاسبه می‌شود:

$$\sin \eta = \sin^{-1} (\sin \rho \cos El) \quad (19)$$

که در آن

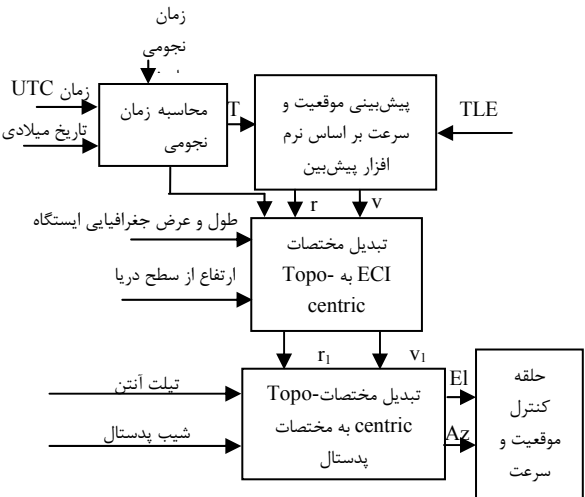
$$\sin \rho = \frac{R_E}{R_E + H} = \frac{R_E}{r} \quad (20)$$

در این معادله، El ، زاویه ترقيق و r ، موقعیت ماهواره در دستگاه ECI است [۱].

اما این شیفت فرکانسی محاسبه شده همواره به دلیل عوامل محیطی دارای خطاست. بلوك دیاگرام محاسبه انحراف فرکانسی در شکل (۶) آمده است.

گرفته شده‌اند، همان طور که دیده می‌شود در ماتریس A_6 ارتفاع از سطح دریا، یک در نظر گرفته شده است که در نرمافزار واقعی به جای عدد یک از نسبت شعاع زمین از سطح دریا به علاوه ارتفاع از سطح دریا در هر نقطه به شعاع از سطح دریا استفاده می‌شود.

با توجه به مطالب گفته شده الگوریتم محاسبه زاویه سمت و اوج مطابق دیاگرام بلوکی شکل (۴) صورت می‌پذیرد:



شکل ۴- مراحل پیش‌بینی موقعیت و سرعت زاویه‌ای

محاسبه شیفت فرکانس داپلر با استفاده از پارامترهای مداری ماهواره

نرمافزار پیش‌بین مسیر ماهواره برای تعیین موقعیت ماهواره استفاده می‌شود. شمای کلی این نرمافزار در شکل (۷) و شکل (۸) نشان داده شده است. همان‌طور که در بخش قبل اشاره شد، این شبیه‌ساز با گرفتن اطلاعات موقعیت جغرافیایی ایستگاه زمینی، پارامترهای کپلر ماهواره و همچنین زمان دقیق جهانی (UTC) توسط دستگاه موقعیت یاب جهانی (GPS)، زوایای سمت و ارتفاع آنتن ایستگاه را به منظور ردیابی ماهواره محاسبه می‌کند [۲ و ۳].

در نتیجه با داشتن زاویه El و r ، موقعیت ماهواره در دستگاه ECI به دست آمده از نرمافزار ردگیری بومی و معادلات فوق می‌توان شیفت فرکانسی داپلر را محاسبه کرد. مقدار انحراف فرکانسی ناشی از پدیده داپلر از رابطه (۱۳) قابل محاسبه است:

$$f_d = -\frac{v_{s,r}}{c} f_0 \quad (13)$$

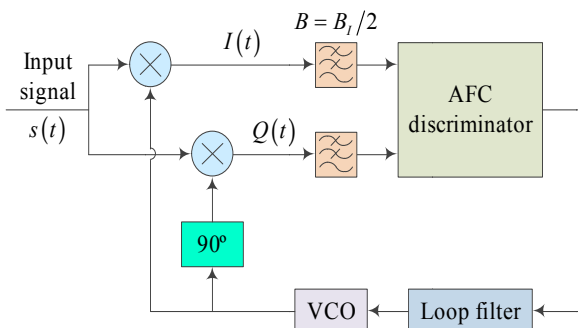
که در رابطه فوق $v_{s,r}$ سرعت نسبی ماهواره نسبت به ایستگاه زمینی، c سرعت انتشار موج در محیط مورد نظر و f_0 فرکانس سیگنال بدون درنظر گرفتن اثر داپلر است. با توجه به ثابت بودن c و f_0 در هر لینک ماهواره‌ای، محاسبه میزان فرکانس داپلر از رابطه (۱)، مستلزم آگاهی از

دارای خطاست. بنابراین برای تعیین فرکانس سیگنال حامل دریافتی دقیق از کنترل کننده‌های خودکار فرکانس استفاده می‌شود. کنترل خودکار فرکانس (AFC)، روشی است که در گیرنده‌های رادیویی برای کنترل اسیلاتور محلی و تنظیم فرکانس کاری آن با فرکانس سیگنال حامل دریافتی مورد استفاده قرار می‌گیرد. به این ترتیب، گیرنده به طور خودکار با فرکانس مورد نظر سنتکرون شده و سیگنال دریافتی با وجود تغییرات فرکانسی، به درستی مدموله می‌شود.

تغییرات فرکانس ممکن است به دلایل مختلف ایجاد شود، برای مثال، یکسان نبودن فرکانس اسیلاتور در فرستنده و گیرنده و تغییرات فرکانس کاری بر اثر عدم پایداری حرارتی از جمله موارد شایع جایه‌جایی فرکانسی در فرستندها و گیرنده‌های رادیویی به شمار می‌رود. در مخابرات ماهواره‌ای علاوه بر موارد فوق، جایه‌جایی فرکانس بر اثر پدیده داپلر یکی از موارد قابل توجه شیفت فرکانسی به حساب می‌آید.

همان‌گونه که در شکل (۹) نشان داده شده است، برای یک سیستم AFC همواره دو زیرسیستم اصلی وجود دارد: تفکیک کننده فرکانس: که باید بتواند تغییرات فرکانسی را به تغییرات ولتاژ تبدیل کند.

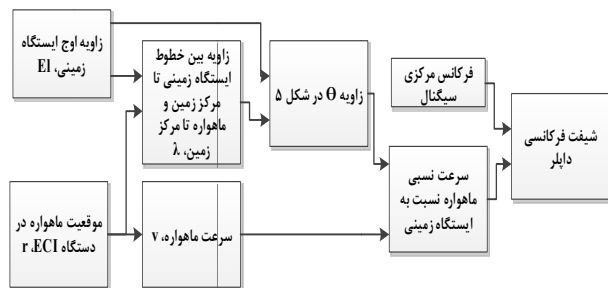
اسیلاتور کنترل شونده با ولتاژ (VCO): که متناسب با تغییرات ولتاژ، فرکانس خروجی مطلوب را تولید کند.



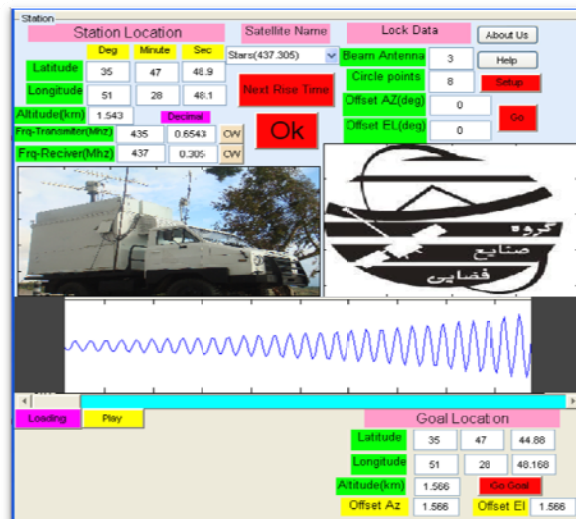
شکل ۹- ساختار کلی حلقة AFC

تفکیک کننده فرکانس

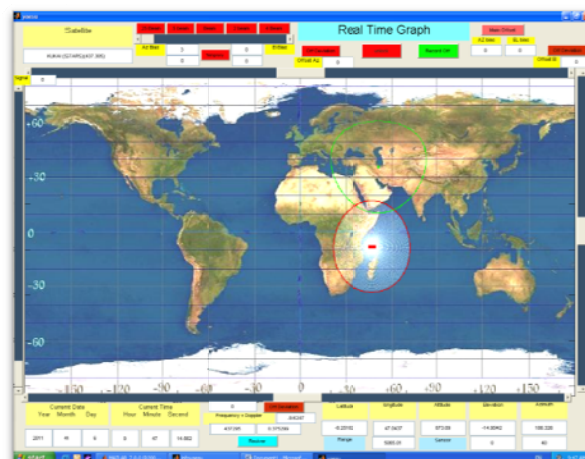
وظیفه تفکیک کننده فرکانس، فراهم کردن ولتاژ کنترلی متناسب با انحراف فرکانس سیگنال حامل دریافتی از نوسان‌ساز محلی است. زمانی که اسیلاتور محلی در گیرنده به طور دقیق روی فرکانس سیگنال دریافتی تنظیم شود، خروجی تفکیک کننده فرکانس صفر می‌شود. در این حالت VCO در حالت نرمال عمل می‌کند. هر انحراف فرکانسی بین سیگنال حامل دریافتی و اسیلاتور محلی، بسته به میزان انحراف و جهت آن، به صورت ولتاژی باشد و علامت متفاوت در خروجی تفکیک کننده ظاهر می‌شود. در



شکل ۶- بلوك دیاگرام محاسبه انحراف فرکانسی



شکل ۷- شمای کلی نرمافزار پیش بین مسیر ماهواره

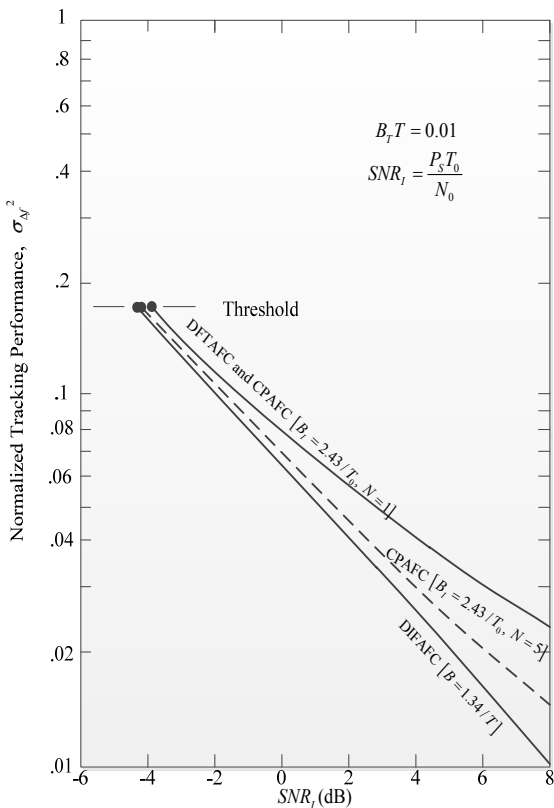


شکل ۸- نمایش منطقه دید ایستگاه زمینی و ناحیه پوشش ماهواره

حلقه کنترل خودکار فرکانس

همان طور که در بخش قبل بحث شد، شیفت فرکانسی ناشی از پدیده داپلر به دلیل اختلالات محیطی و خطای احتمالی

مبانی انتخاب یک ساختار کنترل فرکانسی اتوماتیک بر اساس نوع مدولاسیون، ملاحظات سخت افزاری و کارایی است. این سه ساختار تقریباً کارایی یکسانی تحت شرایط SNR_I پایین دارند. البته ساختار DIFAFAC برای مقادیر بالای SNR_I کارایی بهتری نسبت به دو ساختار دیگر دارد. مقایسه کیفیت سه ساختار AFC برای سیگنال‌های CW در شکل (۱۱) نشان داده شده است. با توجه به مقایسه کیفیت ساختارهای AFC، در این روش نوبن رددگیری اتوماتیک از پیکر بندی DIFAFAC برای اندازه‌گیری دقیق فرکانس حامل دریافتی استفاده می‌کنیم.



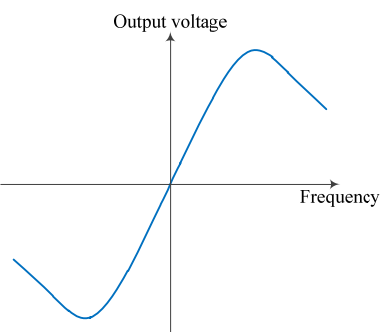
شکل ۱۱- مقایسه کارایی حلقه‌های ردیابی برای سیگنال‌های CW

تفکیک‌کننده دیفرانسیلی

ساختار AFC با تفکیک‌کننده دیفرانسیلی (DIFAFAC) در شکل (۱۲) نشان داده شده است. این تفکیک‌کننده اولین بار توسط Park [۴] ارائه شد. در مقایسه با دیگر تفکیک‌کننده‌ها، تفکیک‌کننده دیفرانسیلی برای پیاده‌سازی به صورت آنالوگ بسیار مناسب است. عملکرد سایر تفکیک‌کننده‌های آنالوگ در مراجع [۵] و [۶] ارائه شده است. خروجی تفکیک‌کننده، که در واقع ولتاژ کنترلی متناسب با خطای حلقة است، به صورت رابطه (۲۷) است:

$$D_e(\omega) = A^2 |H_{LP}(\omega)|^2 \Delta\omega \quad (27)$$

فرکانس‌های دریافتی بالاتر یا پایین‌تر از فرکانس اسیلاتور محلی، ولتاژ خروجی تفکیک‌کننده مقداری بالاتر یا پایین‌تر از صفر خواهد داشت. رابطه بین فرکانس ورودی و ولتاژ خروجی در یک تفکیک‌کننده خطی در شکل (۱۰) نشان داده شده است. با استفاده از ساختار نشان داده شده، می‌توان نوسان‌ساز محلی را به صورت خودکار بر روی فرکانس سیگنال دریافتی قفل کرده و در نتیجه عمل مدولاسیون را به درستی انجام داد.



شکل ۱۰- رابطه بین فرکانس ورودی و ولتاژ خروجی یک تفکیک‌کننده فرکانس خطی

برای بیان مفاهیم ذکر شده به زبان ریاضی، فرض کنید در حلقة AFC شکل (۹)، سیگنال دریافتی گیرنده به فرم زیر باشد:

$$s(t) = A \cos[\omega_0 t + \varphi(t)] + n(t) \quad (21)$$

که در آن $n(t)$ نویز سفید گوسی با چگالی طیفی متناظر باشد، یعنی:

$$S_n(f) = \frac{N_0}{2} \quad (22)$$

می‌توان $n(t)$ را به صورت زیر در نظر گرفت:

$$n(t) = n_1(t) \cos \omega_0 t - n_2(t) \sin \omega_0 t \quad (23)$$

به این ترتیب، $n_1(t)$ و $n_2(t)$ فرآیندهایی با ویژگی گوسی و چگالی طیفی $S_{n_1}(f) = S_{n_2}(f) = N_0$ خواهند بود. فرض بر این است که خروجی VCO حلقة AFC شکل (۹) به صورت رابطه (۲۴) باشد:

$$v_r(t) = 2 \cos \omega_1 t \quad (24)$$

به این ترتیب:

$$I(t) = A \cos[\Delta\omega t + \varphi(t)] + n_1(t) \cos \Delta\omega t - n_2(t) \sin \Delta\omega t \quad (25)$$

$$Q(t) = A \sin[\Delta\omega t + \varphi(t)] + n_1(t) \sin \Delta\omega t + n_2(t) \cos \Delta\omega t \quad (26)$$

که در روابط فوق $\Delta\omega = \omega_0 - \omega_1$

سه ساختار کلی زیر برای تفکیک‌کننده‌های فرکانس وجود دارد:

۱. تفکیک‌کننده‌های Differentiate and multiply

۲. تفکیک‌کننده‌های cross product

۳. تفکیک‌کننده‌های مبتنی بر تبدیل فوریه گسسته (DFT)

رنج ردیابی تفکیک کننده فرکانسی به صورت رابطه (۲۸) تخمین زده می‌شود.

$$TR = \pm 0.38B_I \quad (28)$$

همچنین ثابت می‌شود که عملکرد DIFAFIC در برابر نویز به صورت زیر است [۷]:

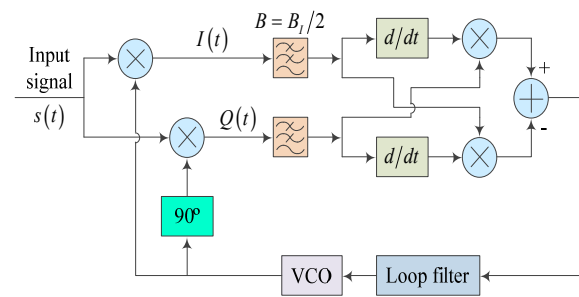
$$\begin{aligned} \sigma_{\Delta f}^2 &= \frac{B_{LP}^3}{3(P_s/N_0)(B_{LP}/B_I)^2} \times \\ &\left\{ \left(\frac{B_{LP}}{B_I} \right)^2 + \frac{1}{2SNR_I} \left[1 - \frac{2}{3} \left(\frac{B_{LP}}{B_I} \right) + \left(\frac{B_{LP}}{B_I} \right)^2 - \frac{1}{4} \left(\frac{B_{LP}}{B_I} \right)^3 \right] \right\} \quad (29) \end{aligned}$$

$$\sigma_{\Delta f}^2 \equiv \frac{0.33(B_{LP}/B_I)B_{IF}}{SNR_I} \left[\left(\frac{B_{LP}}{B_I} \right)^2 + \frac{1}{2SNR_I} \right] \text{ for } B_{LP} \ll B_I$$

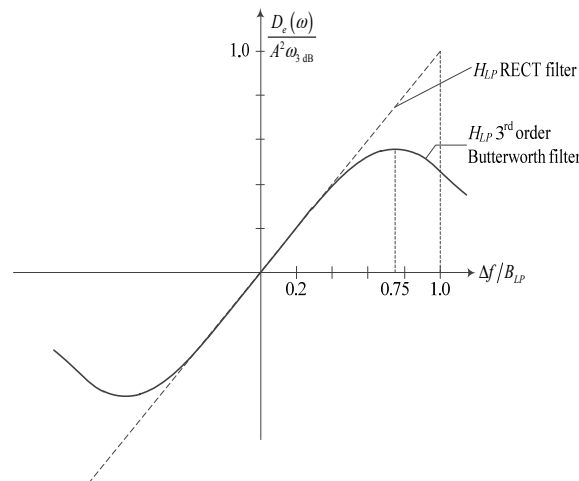
اصلاح خطای TLE با اختلاف مقدار محاسبه شده و دقیق شیفت داپلر

همان طور که بحث شد، ابتدا زوایای سمت و ارتفاع آتن ایستگاه زمینی را به منظور ردیابی ماهواره توسعه نرم افزار پیش بین به دست آورده و به سمت ماهواره مورد نظر نشانه گیری می‌کنیم. در قدم بعدی، شیفت فرکانس داپلر توسط نرم افزار پیش بین مسیر ماهواره و معادلات ذکر شده، مطابق جدول (۱) محاسبه می‌شود. سپس فرکانس داپلر دقیق دریافتی در گیرنده ایستگاه زمینی توسط ساختار DIFAFIC، اندازه گیری می‌شود. در مرحله بعدی، فرکانس داپلر دقیق دریافتی اندازه گیری شده را در جدول (۱) پیدا کرده و زمان مناسب با آن را می‌خوانیم. حال اختلاف این زمان را با زمان واقعی خوانده از سخت افزار DIFAFIC به دست می‌آوریم. اختلاف زمانی حاصله را در اولین رابطه سری معادلات (۱) وارد می‌نماییم (به جای t در معادله $M(t) = \omega_0(t-t_0)$ ، اختلاف زمانی حاصله را نیز اضافه می‌کنیم). سپس بار دیگر این معادلات را حل می‌کنیم و معادلات کپلر را به دست آورده و در نهایت TLE جدید اصلاح یافته را به دست می‌آوریم.

منحنی مربوط به این رابطه در شکل (۱۳) برای دو نوع فیلتر پایین گذرا به نمایش در آمده است.



شکل ۱۲- ساختار حلقه AFC با استفاده از تفکیک کننده دیفرانسیلی



شکل ۱۳- منحنی خروجی تفکیک کننده انتگرالی به فرکانس ورودی

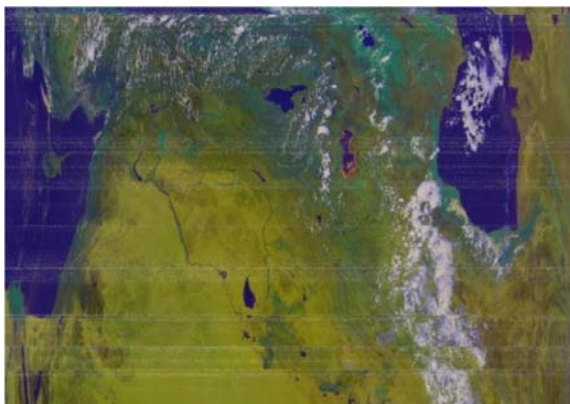
حلقه AFC با استفاده از تفکیک کننده دیفرانسیلی برای دنبال کردن فرکانس سیگنال حامل در مدولاسیون های CW، DPSK و همین طور مدولاسیون FSK قابل استفاده می‌باشد. برای عملکرد صحیح تفکیک کننده، پهنای باند ورودی بایستی به اندازه کافی بزرگ باشد تا طیف سیگنال ورودی را بدون آسیب جدی از خود عبور دهد.

جدول ۱- داده استخراج شده از نرم افزار پیش بین مسیر ماهواره

| NOAA-16 | | | | | | |
|---------|----------|-------------|---------|-----------|----------------|----------------|
| Row | Date | Time | Azimuth | Elevation | Range | Doppler |
| ۱ | ۲۰۱۵۰۶۲۰ | ۱۳۰۲۳۰.۹۹۲۸ | ۲۶۴.۴۷۸ | ۵.۱۶۹ | ۱۸۴۰.۴۱۰۶۵۶۴۷ | ۴۰.۳۷۶۷۱۲۵۵۹۵ |
| ۲ | ۲۰۱۵۰۶۲۰ | ۱۳۰۲۳۱.۹۹۲۶ | ۲۶۴.۲۷ | ۵.۲۰۲ | ۱۸۳۷.۸۶۳۰۹.۰۶ | ۴۰.۰۴۹۱۴۰۹۱۵ |
| ۳ | ۲۰۱۵۰۶۲۰ | ۱۳۰۲۳۲.۹۹۲۴ | ۲۶۴.۰۶ | ۵.۲۳۵ | ۱۸۳۵.۱۳۸۱۷۳۵۳۵ | ۳.۹۷۲۰۰.۶۳۳۱۳۹ |
| ۴ | ۲۰۱۵۰۶۲۰ | ۱۳۰۲۳۳.۹۹۲۲ | ۲۶۳.۸۵ | ۵.۲۶۸ | ۱۸۳۲.۴۳۶۷۳۸۴۱ | ۳.۹۳۸۹۴۸۳۲۸۶ |
| ۵ | ۲۰۱۵۰۶۲۰ | ۱۳۰۲۳۴.۹۹۲ | ۲۶۳.۵۳۹ | ۵.۳۰۱ | ۱۸۲۹.۷۵۷۵۲۱۰۴ | ۳.۹۰۵۷۴۰.۴۶۴۸۹ |
| ۶ | ۲۰۱۵۰۶۲۰ | ۱۳۰۲۳۵.۹۹۱۸ | ۲۶۳.۴۲۷ | ۵.۳۳۴ | ۱۸۲۷.۱۱۱۸۵۷۶ | ۳.۸۷۲۳۸۳۱۴۳۴۹ |
| ۷ | ۲۰۱۵۰۶۲۰ | ۱۳۰۲۳۶.۹۹۱۶ | ۲۶۳.۲۱۵ | ۵.۳۶۶ | ۱۸۲۴.۴۶۷۸۳۴۸ | ۳.۸۳۸۸۷۶۷۶۴۵ |
| ۸ | ۲۰۱۵۰۶۲۰ | ۱۳۰۲۳۷.۹۹۱۴ | ۲۶۳.۰۰۲ | ۵.۳۹۸ | ۱۸۲۱.۸۵۷۵۷۰۱ | ۳.۸۰۵۲۲۱۸۴۹.۰۴ |

| NOAA-16 | | | | | | |
|---------|----------|-------------|---------|-----------|-----------------|------------------|
| Row | Date | Time | Azimuth | Elevation | Range | Doppler |
| ۹ | ۲۰۱۵۰۶۲۰ | ۱۳۰۲۳۸.۹۹۱۲ | ۲۶۲.۷۸۹ | ۵.۴۳ | ۱۸۱۹.۷۲۰-۴۹۳۲۵ | ۳.۷۷۱۴۱۸۷۹۱۵۴ |
| ۱۰ | ۲۰۱۵۰۶۲۰ | ۱۳۰۲۳۹.۹۹۱ | ۲۶۲.۵۷۵ | ۵.۴۶۲ | ۱۸۱۶.۷۰۷۰-۰۵۲ | ۳.۷۳۷۴۶۸۱۰۷۷۹ |
| ۱۱ | ۲۰۱۵۰۶۲۰ | ۱۳۰۲۴۰.۹۹۰۷ | ۲۶۲.۳۶ | ۵.۴۹۳ | ۱۸۱۴.۱۶۶۳۰-۷۸۳ | ۳.۷۰۳۷۴۰-۷۵۸۸ |
| ۱۲ | ۲۰۱۵۰۶۲۰ | ۱۳۰۲۴۱.۹۹۰۵ | ۲۶۲.۱۴۵ | ۵.۵۲۴ | ۱۸۱۱.۵۴۹۴۰-۰۷۷ | ۳۵۶۹.۱۲۵۹۴۴۷۹ |
| ۱۳ | ۲۰۱۵۰۶۲۰ | ۱۳۰۲۴۲.۹۹۰۳ | ۲۶۱.۹۲۹ | ۵.۵۵۵ | ۱۸۰۹.۱۰۶۰-۸۴۳۵ | ۳۵۳۴۷۲۵۰۴۶۶۷ |
| ۱۴ | ۲۰۱۵۰۶۲۰ | ۱۳۰۲۴۳.۹۹۰۱ | ۲۶۱.۷۱۲ | ۵.۵۸۶ | ۱۸۰۶.۶۸۴۵۸۵ | ۳۶۰۰.۱۹۹۷۱۹۰-۰۵ |
| ۱۵ | ۲۰۱۵۰۶۲۰ | ۱۳۰۲۴۴.۹۸۹۹ | ۲۶۱.۴۹۵ | ۵.۶۱۷ | ۱۸۰۴.۴۲۰-۶۲۲۵۱ | ۳.۵۶۵۰۱۹.۰۹۹۹۳ |
| ۱۶ | ۲۰۱۵۰۶۲۰ | ۱۳۰۲۴۵.۹۸۹۷ | ۲۶۱.۲۷۷ | ۵.۶۴۷ | ۱۸۰۱.۱۸۶۷۵۳ | ۳.۵۳۰-۶۹۴۱۹۷۲۵ |
| ۱۷ | ۲۰۱۵۰۶۲۰ | ۱۳۰۲۴۶.۹۸۹۵ | ۲۶۱.۰۵۸ | ۵.۶۷۷ | ۱۷۹۹.۴۲۰-۷۱۵۳۴ | ۳.۴۹۵۷۲۵۷۸۸۹۳ |
| ۱۸ | ۲۰۱۵۰۶۲۰ | ۱۳۰۲۴۷.۹۸۹۳ | ۲۶۰.۸۳۹ | ۵.۷۰۷ | ۱۷۹۷.۰-۴۶۸۴۰-۶۴ | ۳.۴۶۰.۶۱۴۴۹۰-۰۲۸ |
| ۱۹ | ۲۰۱۵۰۶۲۰ | ۱۳۰۲۴۸.۹۸۹۱ | ۲۶۰.۶۲ | ۵.۷۳۶ | ۱۷۹۴.۶۹۷۱۴۸۷۴ | ۳.۴۲۵۳۱۰-۱۹۳۸ |
| ۲۰ | ۲۰۱۵۰۶۲۰ | ۱۳۰۲۴۹.۹۸۸۹ | ۲۶۰.۴۹۹ | ۵.۷۶۵ | ۱۷۹۲.۳۷۱۷۳۶۶۷ | ۳.۳۸۹۹۶۸-۰۹۲ |
| ۲۱ | ۲۰۱۵۰۶۲۰ | ۱۳۰۲۵۰.۹۸۸۷ | ۲۶۰.۱۷۸ | ۵.۷۹۴ | ۱۷۹۰.۰-۷۰۷۰-۰۹۴ | ۲.۳۵۴۴۳۰-۴۵۴۳۲ |
| ۲۲ | ۲۰۱۵۰۶۲۰ | ۱۳۰۲۵۱.۹۸۸۴ | ۲۵۹.۹۵۷ | ۵.۸۲۳ | ۱۷۸۷.۷۹۴۱۳۷۵۶ | ۳.۳۱۹-۰۸۶۸۵۷۲۳ |
| ۲۳ | ۲۰۱۵۰۶۲۰ | ۱۳۰۲۵۲.۹۸۸۲ | ۲۵۹.۷۳۵ | ۵.۸۵۲ | ۱۷۸۵.۰۴۲۱۴۱۹۸ | ۳.۲۸۲۹۴۰-۱۵۲۹ |
| ۲۴ | ۲۰۱۵۰۶۲۰ | ۱۳۰۲۵۳.۹۸۸۸ | ۲۵۹.۵۱۲ | ۵.۸۸ | ۱۷۸۳.۳۱۴۸-۰-۰۷ | ۳.۲۴۶۹۸۷۱-۱۹۲ |
| ۲۵ | ۲۰۱۵۰۶۲۰ | ۱۳۰۲۵۴.۹۸۷۸ | ۲۵۹.۲۸۹ | ۵.۹۰۸ | ۱۷۸۱.۱۱۲۲۳۳۱۶ | ۳.۲۱۰-۰۹۶۵۶۶۳۶ |
| ۲۶ | ۲۰۱۵۰۶۲۰ | ۱۳۰۲۵۵.۹۸۷۶ | ۲۵۹.۰۶۵ | ۵.۹۳۶ | ۱۷۷۸.۹۳۴۵-۰۷۶ | ۳.۱۷۴۶۶۹۴۱۳۳۷ |
| ۲۷ | ۲۰۱۵۰۶۲۰ | ۱۳۰۲۵۶.۹۸۷۴ | ۲۵۸.۸۴۱ | ۵.۹۶۳ | ۱۷۷۶.۷۸۱۷۲۶۵۷ | ۳.۱۳۸۳۰-۶۵۳۴۵۶ |
| ۲۸ | ۲۰۱۵۰۶۲۰ | ۱۳۰۲۵۷.۹۸۷۲ | ۲۵۸.۶۱۶ | ۵.۹۹ | ۱۷۷۴.۶۵۳۹۸۱۱۴۷ | ۳.۱-۱۸۰-۸۸۵۱۸ |
| ۲۹ | ۲۰۱۵۰۶۲۰ | ۱۳۰۲۵۸.۹۸۷۰ | ۲۵۸.۳۹ | ۶.۰۱۷ | ۱۷۷۲.۵۰۱۳۶۴۴۹ | ۳۰.۶۵۱۷۷۲۸۸۴۳ |
| ۳۰ | ۲۰۱۵۰۶۲۰ | ۱۳۰۲۵۹.۹۸۶۸ | ۲۵۸.۱۶۴ | ۶.۰۴۴ | ۱۷۷۰.۴۷۳۹۶۶۷۹ | ۳۰.۲۸۴۱۲۸۲۷۰-۰۵ |

با اصلاح خطای TLE، دقت رديابي آتنن ايستگاه زميني نيز افزاييش مي يابد. اين اصلاح TLE و به تبع آن رديابي بهتر ماهواره، كيفيت تصاوير هواشناسی دريافتی را نيز افزاييش مي دهد. تصاوير هواشناسی قبل و بعد از اصلاح TLE در شکل (۱۴) و شکل (۱۵) آمده است. عمليات اصلاح TLE بحث شده بايستى در هر گزرن ماهواره به صورت زمان واقعی صورت گيرد تا خطای ردگيري در حين گذر تصحیح گردد. هدف اين روش عملياتی تولید TLE برای رد بعدی نیست بلکه هدف تصحیح اتوماتیک خطای به کمک فرکانس داپلر در هر رد است.



شکل ۱۴ - تصویر دریافتی از ماهواره نوآ ۱۹ قبل از اصلاح TLE

این ايده به صورت عملياتی در ايستگاه زميني دريافت تصوير از ماهواره های هواشناسی NOAA-19، NOAA-18 و NOAA-16 Metop Fengyun راه اندازی شده است. به عنوان نمونه، TLE به دست آمده از سایت NORAD برای ماهواره NOAA-16 بدین صورت است.

100000U 12001A 12007.47148100 .0000000 00000-0 0 8439
2 00000 098.2272 145.8157 0033660 144.7681 360.0000 14.7868300000016
اطلاعات زوایای سمت و ارتفاع آتنن ايستگاه زميني و فرکانس داپلر
محاسبه شده توسط نرم افزار پیش بین اين ماهواره نيز در جدول (۱) آورده شده است. فرکانس و زمان خوانده شده از سخت افزار DIFACF داپلر ۳۶۰۰ هرتز در زمان ۱۳:۰۲:۵۲ بود. عدد فرکانس داپلر ۳۶۰۰ هرتز در جدول (۱) مربوط به ردیف ۱۴ و زمان ۱۳:۰۲:۴۲ است. در نتیجه اختلاف زمانی حاصله، ده ثانیه است. سپس با حل دوباره معادلات (۱) و (۲)، TLE اين ماهواره را بدین صورت اصلاح می نماییم.

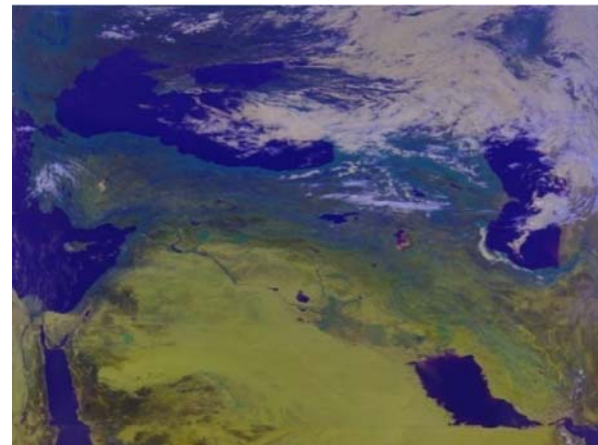
1 00000U 12001A 12007.47158565 .0000000 00000-0 0 8439

2 00000 098.2272 145.8535 0033660 144.7681 360.0000 14.7868300000016

این اعمال اختلاف زمانی به دست آمده بر روی پارامترهای كپلر TLE تأثير می گذارد. البته در شبیه سازی انجام شده به دلیل اختلاف زمانی اندک، این اصلاح زمانی فقط بر روی پارامترهای RAAN و Epoch تأثیر خود را نشان داد.

مراجع

- [1] Nasirian, M., Simulator Design for Satellite Attitude Control and Earth Station Tracking, (PhD Thesis) of K. N. Toosi University of Technology Iran, 2007.
- [2] Nasirian, M., Bolandi, H., Khaki-sedigh, A. and Khoogar, A. R., "Design of an Satellite Atitude Control Simulator," *1st IEEE International Symposium on System and Control in Aerospace and Astronautics*, China, 2006.
- [3] Nasirian, M., Bolandi, H., Khaki-sedigh, A. and Khoogar, A. R., "Design an Earth Through Satellite Simulator with Useful Application," *26th Asian Conference on Remote Sensing*, ACRS, Hanoi, Vietnam, 2005.
- [4] Park, J. H. "AM FM Detector for Low S/N," *Communication, Technology IEEE Transactions*, Vol. 18, Issue 2, 1970, pp. 110-118.
- [5] Richman, D., "Color-Carrier Reference Phase Synchronization Accuracy in NTSC Color Television," *Proceedings of the IRE*, Vol. 42, Issue 1, 1954, pp. 106-133.
- [6] Enloe, L.H., "Decreasing the Threshold in FM by Frequency Feedback," *Proceedings of the IRE*, Vol. 50, Issue 1, 1962, pp. 18-30.
- [7] Hau, Q. and Natali, F. D., Unpublished, 1978.
- [8] Natali, F. D., "AFC Tracking Algorithms," *Communication, Technology IEEE Transactions*, Vol. 32, No. 8, 1984, pp. 935-947.
- [9] Eason, G., Noble, B. and Sneddon, I. N., "On Certain Integrals of Lipschitz-Hankel Type Involving Products of Bessel Functions," *Philosophical Transactions of the Royal Society of London*, Vol. 247, Issue 935, 1955, pp. 529-551.
- [10] Young, M., *The Technical Winter's Handbook*. Mill Valley, CA: University Science, 1989.
- [11] Yorozu, Y., Hirano, M., Oka, K. and Tagawa, Y. "Electron Spectroscopy Studies on Magneto-Optical Media and Plastic Substrate Interface," *Magnetics in Japan, IEEE Translation Journal*, Vol. 2, Issue 8, pp. 740-741, 1987.
- [12] Wiesel, W.E., *Spacecraft Dynamics*, Mc Graw-Hill, 1997.
- [13] Bakhshiyan, B. Ts., Nazirov, R. R. and Elyasberg, P. E., *Determination and Correction of Satellite Movement*, Science Publication, Mosco, 1980.
- [14] Wiesel, W. E., *Spacecraft Dynamics*, Mc Graw-Hill, 1997.



شکل ۱۵ - تصویر دریافتی از ماهواره نوا ۱۹ بعد از اصلاح TLE

نتیجه‌گیری

از آنجاکه، ماهواره نسبت به ایستگاه در حال حرکت است، همواره اثر انحراف فرکانس مرکزی به دلیل پدیده داپلر وجود دارد. مقدار دقیق انحراف فرکانسی از یک سری روابط استخراج می‌شود. دقت انحراف فرکانس محاسباتی ناشی از پدیده داپلر به میزان دقت پارامترهای مداری ماهواره که از روی TLE استخراج می‌شود بستگی دارد. بنابراین، عوامل محیطی و اختلالات در TLE و به روزنودن آن باعث می‌شود ردگیری دقیقی نداشته باشیم.

بنابراین، فرکانس دقیق دریافتی در گیرنده ایستگاه زمینی را توسط روش DIFAFAC اندازه‌گیری می‌کنیم. در این روش نوین ردگیری اتوماتیک، از اختلاف میزان دقیق فرکانس داپلر و مقدار محاسبه شده از روی پارامترهای مداری ماهواره برای اصلاح خطاهای TLE استفاده می‌شود. در نتیجه دقت رديابی آنتن ایستگاه زمینی با روش جدید و TLE اصلاح یافته افزایش می‌یابد. این روش در باند فرکانسی UHF و مدولاسیون CW بر روی ماهواره‌های آماتور تست و صحت آن تأیید شده است.